

# 应用 $\text{Ca}^{2+}$ 荧光探针fluo-3和fluo-4测定 $\text{H}_2\text{O}_2$ 诱导的A549细胞凋亡过程中的 $[\text{Ca}^{2+}]_i$ 变化

张四洋 李春艳 高建 邱雪杉 崔泽实

**【摘要】**背景与目的 肺癌是世界范围内常见的恶性肿瘤， $\text{Ca}^{2+}$ 对于肿瘤细胞凋亡有重要的调控作用。实时监测肺癌细胞内 $\text{Ca}^{2+}$ 水平，有助于深入研究 $\text{Ca}^{2+}$ 介导肺癌细胞凋亡的分子机制。本研究旨在观察 $\text{Ca}^{2+}$ 荧光探针fluo-3和fluo-4在 $\text{H}_2\text{O}_2$ 诱导的A549细胞凋亡过程中的应用，实时测定胞浆 $\text{Ca}^{2+}$ 浓度( $[\text{Ca}^{2+}]_i$ )，探讨 $[\text{Ca}^{2+}]_i$ 与细胞凋亡的关系，并比较两种 $\text{Ca}^{2+}$ 探针在荧光强度及 $[\text{Ca}^{2+}]_i$ 测定值方面的差异。方法 采用 $\text{Ca}^{2+}$ 荧光探针fluo-3和fluo-4负载细胞，1 h后用不同浓度的 $\text{H}_2\text{O}_2$ 刺激细胞，激光扫描共聚焦显微镜实时测定选取细胞的 $[\text{Ca}^{2+}]_i$ 变化。采用DAPI染色试剂盒观察 $\text{H}_2\text{O}_2$ 刺激后细胞凋亡情况。结果 在相同的探针浓度、负载时间和相同的图像采集参数的条件下，选定细胞内fluo-4平均荧光强度高于fluo-3。50 mM  $\text{H}_2\text{O}_2$ 刺激后，A549细胞胞浆内 $[\text{Ca}^{2+}]_i$ 迅速升高，通过公式计算发现采用fluo-3探针负载的选定细胞中 $[\text{Ca}^{2+}]_i$ 变化范围是112.2 nM-1,069.6 nM，采用fluo-4探针负载的选定细胞中 $[\text{Ca}^{2+}]_i$ 变化范围是7.6 nM-505.4 nM。同时发现经 $\text{H}_2\text{O}_2$ 刺激后，凋亡细胞百分比明显增加( $P<0.01$ )。结论  $\text{H}_2\text{O}_2$ 促进A549细胞内 $\text{Ca}^{2+}$ 释放，诱导细胞凋亡。 $\text{Ca}^{2+}$ 探针fluo-4可能更适合于监测含量较低的细胞中 $[\text{Ca}^{2+}]_i$ 变化。

**【关键词】** Fluo-3；Fluo-4； $\text{Ca}^{2+}$ ； $\text{H}_2\text{O}_2$ ；细胞凋亡

## Application of the $\text{Ca}^{2+}$ Indicator Fluo-3 and Fluo-4 in the Process of $\text{H}_2\text{O}_2$ Induced Apoptosis of A549 Cell

Siyang ZHANG<sup>1</sup>, Chunyan LI<sup>1</sup>, Jian GAO<sup>1</sup>, Xueshan QIU<sup>2</sup>, Zeshi CUI<sup>1</sup>

<sup>1</sup>Center of Laboratory Technology and Experimental Medicine; <sup>2</sup>Department of Pathology, China Medical University, Shenyang 110001, China

Corresponding author: Zeshi CUI, E-mail: labczs@mail.cmu.edu.cn

**【Abstract】** **Background and objective** Lung cancer is a common malignant tumor all over the world, and  $\text{Ca}^{2+}$  is a critical regulator for apoptosis of cancer cells. The monitoring of cytoplasmic  $\text{Ca}^{2+}$  level in real-time will contribute to further investigate the molecular mechanisms of apoptosis mediated by  $\text{Ca}^{2+}$  in lung cancer cells. To evaluate the  $\text{Ca}^{2+}$  indicator fluo-3 and fluo-4 in the process of  $\text{H}_2\text{O}_2$  induced the apoptosis of lung adenocarcinoma A549 cells. The cytoplasmic  $\text{Ca}^{2+}$  concentration ( $[\text{Ca}^{2+}]_i$ ) was determined in real-time, and the correlations between  $[\text{Ca}^{2+}]_i$  and cell apoptosis were investigated. The differences in fluorescence intensity and measured value were compared between the two  $\text{Ca}^{2+}$  indicators. **Methods** Cells were loaded with the  $\text{Ca}^{2+}$  indicator fluo-3 or fluo-4 for 1 h, and then stimulated with 50 mM  $\text{H}_2\text{O}_2$ . Laser scanning confocal microscope was applied to perform real-time monitoring on the variation of  $[\text{Ca}^{2+}]_i$  in selected cells. DAPI staining was used to observe apoptosis in  $\text{H}_2\text{O}_2$  treated cells. **Results** Our results showed that the fluorescence intensity of fluo-4 was stronger than that of fluo-3 in the same condition of dye concentration, loading time and image acquisition parameters before or after  $\text{H}_2\text{O}_2$  stimulation. The cytoplasmic  $[\text{Ca}^{2+}]_i$  was rapidly elevated in  $\text{H}_2\text{O}_2$  stimulated A549 cells. The range of  $[\text{Ca}^{2+}]_i$  in selected cells loaded with fluo-3 was 112.2 nM-1,069.6 nM, and that in selected cells loaded with fluo-4 was 7.6 nM-505.4 nM. Moreover, the apoptotic rate was significantly increased in  $\text{H}_2\text{O}_2$  treated cells, compared with untreated ones ( $P<0.01$ ). **Conclusion** In summary,  $\text{H}_2\text{O}_2$  promoted  $\text{Ca}^{2+}$  release in A549 cells, and induced cell apoptosis.  $\text{Ca}^{2+}$  indicator fluo-4 was probably more applicable to measure  $[\text{Ca}^{2+}]_i$  in cells with less content of  $\text{Ca}^{2+}$ .

本研究受国家自然科学基金项目(No.81101599)、沈阳市科学技术项目(No.F11-241-00, No.F12-264-4-01)和辽宁省科学事业研究公益基金项目(No.2012006005)资助

作者单位：110001 沈阳，中国医科大学实验技术中心(张四洋，李春艳，高建，崔泽实)；病理学教研室(邱雪杉)(通讯作者：崔泽实，E-mail: labczs@mail.cmu.edu.cn)

**【Key words】** Fluo-3; Fluo-4;  $\text{Ca}^{2+}$ ;  $\text{H}_2\text{O}_2$ ; Apoptosis

This study was supported by the grants from National Natural Science Foundation of China (to Siyang ZHANG)(No.81101599), the Science and Technology Project of Shenyang (to Zeshi CUI)(No.F11-241-00, No.F12-264-4-01) and the Public Welfare Foundation Project of Science Enterprise Investigation in Liaoning Province (to Zeshi CUI)(No.2012006005).

$\text{Ca}^{2+}$ 是非常重要的细胞内第二信使，参与肌细胞收缩、神经递质释放、细胞分化和细胞凋亡等生理、病理过程。细胞内生理 $\text{Ca}^{2+}$ 浓度为10 nM-100 nM， $\text{Ca}^{2+}$ 超载时浓度为基础浓度的10倍左右，与心脏疾病、神经损伤、肿瘤发生等多种疾病的发生发展密切相关<sup>[1]</sup>。 $\text{H}_2\text{O}_2$ 是常见的活性氧分子，向细胞外液加入 $\text{H}_2\text{O}_2$ ，可以使细胞处于氧化应激状态，文献<sup>[2]</sup>报道 $\text{Ca}^{2+}$ 介导了 $\text{H}_2\text{O}_2$ 作用下的大鼠胰腺泡AR42J细胞的凋亡。肺癌是世界范围内常见的恶性肿瘤，研究<sup>[3-5]</sup>表明，引起胞浆 $\text{Ca}^{2+}$ 浓度升高的刺激通过依赖线粒体途径的caspases通路或内质网应激途径，诱导肺癌细胞发生凋亡。实时监测肺癌细胞内 $\text{Ca}^{2+}$ 浓度和胞浆内 $\text{Ca}^{2+}$ 水平，有助于深入研究 $\text{Ca}^{2+}$ 介导肺癌细胞凋亡的分子机制，以寻找促进肺癌细胞凋亡的有效方法。

自1989年开始，应用荧光染料fluo-3对细胞内 $\text{Ca}^{2+}$ 成像，揭示了很多涉及 $\text{Ca}^{2+}$ 信号时空变化的细胞生物学功能。Fluo-3也结合流式细胞仪用于检测 $\text{Ca}^{2+}$ 作为第二信使参与信号转导和细胞药理学筛选等实验研究。Fluo-3用于监测活细胞内 $[\text{Ca}^{2+}]$ 变化，其最主要的优势在于利用488 nm的氯离子激光源，可以在激光扫描共聚焦显微镜下观察，fluo-3与 $\text{Ca}^{2+}$ 结合后其荧光强度迅速增强。Fluo-4是fluo-3的衍生物，用F取代了fluo-3分子中的2个Cl。其激发波长较fluo-3更接近488 nm，产生更强、更稳定的荧光信号，适合于多数配置氯离子激光器的激光扫描共聚焦显微镜观察<sup>[6]</sup>，也可以用于流式细胞仪检测，以及利用多功能酶标仪读取荧光信号<sup>[7]</sup>。

本研究采用目前实验室常用的 $\text{Ca}^{2+}$ 荧光探针fluo-3和fluo-4负载人肺癌A549细胞，观察 $\text{H}_2\text{O}_2$ 处理的A549细胞中 $[\text{Ca}^{2+}]$ 变化，对fluo-3和fluo-4的荧光强度和 $[\text{Ca}^{2+}]$ 测定值进行比较和分析，并探讨在 $\text{H}_2\text{O}_2$ 作用下细胞凋亡情况。

## 1 材料与方法

**1.1 主要试剂与仪器** Fluo-3 AM (Biotium公司，纯度95%) 和fluo-4 AM (DOJINDO公司，纯度98%)，均用DMSO溶解，0.22  $\mu\text{m}$ 滤膜过滤除菌，贮存液浓度为1

mM，-20 °C避光保存。RPMI-1640培养基和胎牛血清为Hyclone公司产品，激光共聚焦显微镜专用培养皿(35 mm)购自NEST公司，Ionomycin和细胞固定液均为碧云天公司产品，DAPI细胞凋亡染色试剂盒购自凯基公司， $\text{H}_2\text{O}_2$ 为国产分析纯。

**1.2 细胞培养** 采用含10%胎牛血清的RPMI-1640培养基，于37 °C、5% $\text{CO}_2$ 培养箱中培养肺癌细胞A549，0.25%胰酶-EDTA消化传代，所有实验均采用对数生长期细胞。

**1.3 探针负载细胞并观察 $[\text{Ca}^{2+}]$ 变化** 荧光探针fluo-3 AM和fluo-4 AM负载细胞时用无 $\text{Ca}^{2+}$ 细胞外液(135 mM NaCl、2 mM KCl、2 mM MgCl<sub>2</sub>、10 mM HEPES、4 g/L葡萄糖)稀释成工作浓度5  $\mu\text{M}$ 。细胞传代24 h后，弃去培养基，用PBS漂洗3次，向细胞中加入fluo-3(5  $\mu\text{M}$ )或fluo-4(5  $\mu\text{M}$ )工作液，避光37 °C孵育40 min。弃去荧光探针，更换新的无 $\text{Ca}^{2+}$ 细胞外液，避光37 °C继续孵育20 min，保证AM在细胞内被充分水解。在FV1000型激光共聚焦显微镜(Olympus, Japan)下观察选择贴壁良好、形态伸展、荧光强度较亮的细胞，设置扫描条件为488 nm波长激发、39%激光强度、PMT(790)、Pinhole(310  $\mu\text{m}$ )、同时采集DIC图像，每5 s采集一幅，共采集40 min左右。首先扫描10幅待荧光强度曲线稳定后，向细胞中加入不同浓度的 $\text{H}_2\text{O}_2$ (5 mM、10 mM或50 mM)；曲线稳定后，向细胞中加入EGTA(4 mM)+Ionomycin(5  $\mu\text{M}$ )；曲线再一次稳定后，向细胞中加入CaCl<sub>2</sub>(10 mM)，曲线稳定后中止实验。钙离子浓度计算公式为Kd(F-Fmin)/(Fmax-F)<sup>[8]</sup>，其中fluo-3探针Kd=400 nM，fluo-4探针Kd=360 nM。

**1.4 DAPI染色检测细胞凋亡** 细胞经 $\text{H}_2\text{O}_2$ 处理30 min后，用细胞固定液4%多聚甲醛室温固定10 min，加入DAPI染色液避光孵育20 min，在倒置荧光显微镜下观察，随机选取5个200×镜下视野，计算凋亡细胞百分比。

**1.5 统计学分析** 采用SPSS13.0统计学软件，进行数据分析及处理。应用t检验比较fluo-3和fluo-4平均荧光强度的差异，应用 $\chi^2$ 检验比较凋亡细胞百分比， $P<0.05$ 为差异有统计学意义。

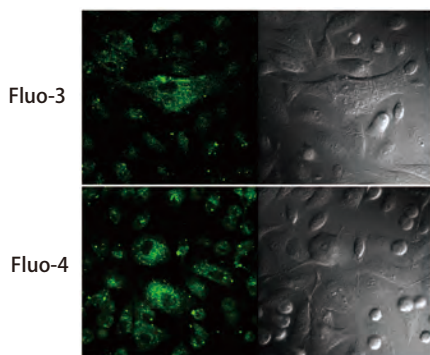


图1  $\text{H}_2\text{O}_2$ 刺激前，负载fluo-3或fluo-4的细胞荧光强度比较。66 mm×58 mm (300×300 DPI)。

Fig 1 The comparison of fluorescence intensity in cells loaded with fluo-3 or fluo-4 before  $\text{H}_2\text{O}_2$  stimulation. 66 mm×58 mm (300×300 DPI).

## 2 结果

**2.1** 未经 $\text{H}_2\text{O}_2$ 刺激前细胞中fluo-3和fluo-4染色结果比较 在相同的细胞负载和图像采集条件下，未加 $\text{H}_2\text{O}_2$ 处理时，fluo-3染色后的细胞在488 nm激发光激发下发出较弱的绿色荧光（图1）。Fluo-4染色后的细胞在488 nm激发光激发下发出较强的绿色荧光（图1）。

**2.2**  $\text{H}_2\text{O}_2$ 处理的细胞 $[\text{Ca}^{2+}]_i$ 变化 在5 mM或10 mM  $\text{H}_2\text{O}_2$ 作用下，fluo-3和fluo-4荧光强度均无明显变化（结果未显示）。加入50 mM  $\text{H}_2\text{O}_2$ 后，细胞荧光强度逐渐增强（图2），观察至40 min左右时，荧光强度曲线稳定不再变化（图3）。在实时观察 $[\text{Ca}^{2+}]_i$ 变化过程中，荧光探针fluo-3和fluo-4均未出现光漂白现象。观察结束时，fluo-3荧光强度增加至3.0倍，fluo-4荧光强度增加至2.6倍。 $\text{H}_2\text{O}_2$ 刺激前，fluo-4荧光强度约是fluo-3荧光强度的2.0倍，而 $\text{H}_2\text{O}_2$ 刺激后fluo-4荧光强度约是fluo-3荧光强度的1.8倍（表1）。通过公式计算发现采用fluo-3探针负载的选定细胞中 $[\text{Ca}^{2+}]_i$ 变化范围是112.2 nM-1,069.6 nM，采用fluo-4探针负载的选定细胞中 $[\text{Ca}^{2+}]_i$ 变化范围是7.6 nM-505.4 nM。

**2.3**  $\text{H}_2\text{O}_2$ 诱导细胞凋亡 细胞经 $\text{H}_2\text{O}_2$ 刺激后固定，DAPI染色后发现，凋亡细胞呈现核固缩且染色加深，核染色质聚集于核膜一边，或核碎裂成大小不等的圆形小体（图4B），而对照组细胞核形态规则、染色均匀，呈蓝白色荧光（图4A）。结果显示与对照组细胞相比， $\text{H}_2\text{O}_2$ 处理的细胞凋亡率明显增加（ $12.2\% \pm 2.3\% \text{ vs } 33.4\% \pm 3.2\%$ ），有统计学意义（ $P < 0.001$ ）。

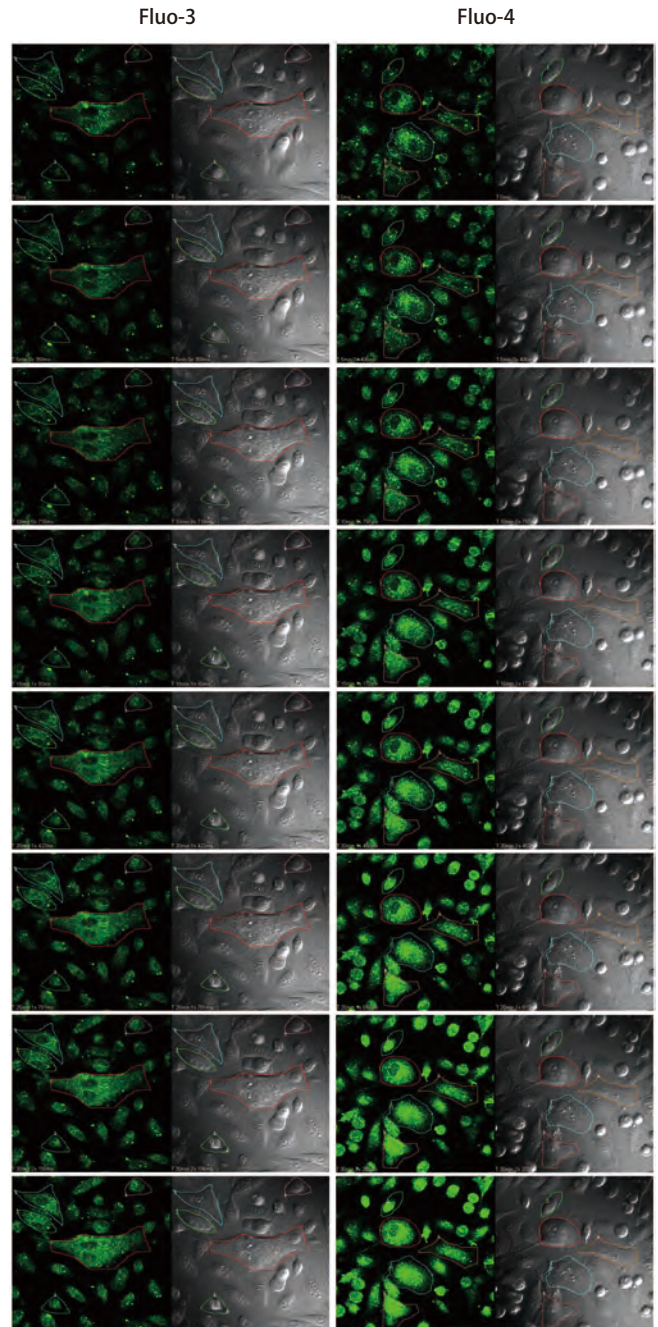


图2  $\text{H}_2\text{O}_2$ 刺激后，实时观察细胞中fluo-3和fluo-4荧光强度变化。141 mm×305 mm (300×300 DPI)。

Fig 2 The real-time observation of the fluorescence intensity in selected cells loaded with fluo-3 or fluo-4 after  $\text{H}_2\text{O}_2$  stimulation. 141 mm×305 mm (300×300 DPI).

## 3 讨论

本研究在对 $\text{Ca}^{2+}$ 信号实时观察的过程中发现，较高浓度的 $\text{H}_2\text{O}_2$ （50 mM）诱导细胞内 $[\text{Ca}^{2+}]_i$ 迅速升高。由于细胞外液不含有 $\text{Ca}^{2+}$ ，因此 $[\text{Ca}^{2+}]_i$ 升高可能是由于细

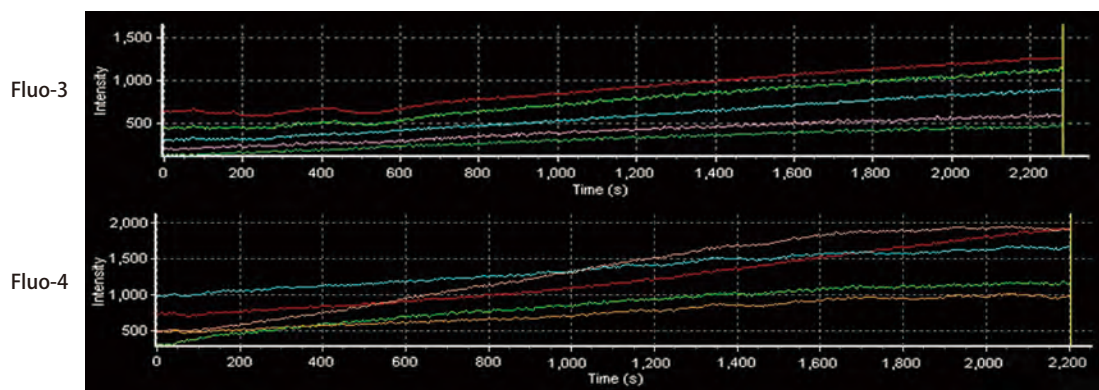


图3  $\text{H}_2\text{O}_2$ 刺激后, 选定细胞的fluo-3或fluo-4荧光强度变化曲线。145 mm×50 mm (300×300 DPI)。

Fig 3 The fluorescence intensity curve of selected cells loaded with fluo-3 or fluo-4 after  $\text{H}_2\text{O}_2$  stimulation. 145 mm×50 mm (300×300 DPI).

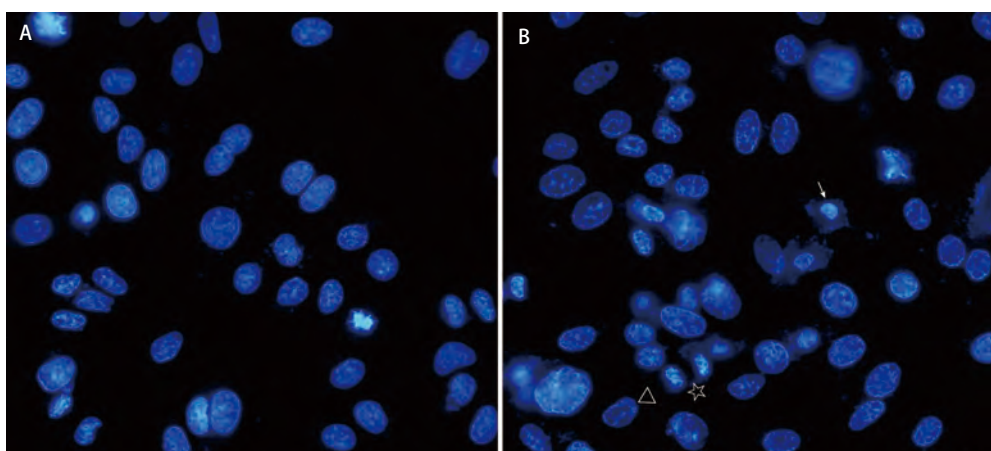


图4  $\text{H}_2\text{O}_2$ 促进A549细胞凋亡。A: 未经 $\text{H}_2\text{O}_2$ 处理的细胞; B:  $\text{H}_2\text{O}_2$ 处理的细胞, 可见核固缩(→)、染色质边集(△)以及核碎裂(☆)。65 mm×32 mm (300×300 DPI)。

Fig 4  $\text{H}_2\text{O}_2$  promoted the apoptosis of A549 cells.  $\text{H}_2\text{O}_2$ : cells without  $\text{H}_2\text{O}_2$  treatment; B: karyopyknosis (→), chromatic condensation (△) and nuclear fragmentation (☆) were observed in  $\text{H}_2\text{O}_2$  treated cells. 65 mm×32 mm (300×300 DPI).

表1  $\text{H}_2\text{O}_2$ 刺激前后, 选定细胞中fluo-3和fluo-4的平均荧光强度值

Table 1 The mean value of fluorescence intensity in selected cells loaded with fluo-3 or fluo-4 before and after  $\text{H}_2\text{O}_2$  treatment

	Fluo-3		Fluo-4	
	Mean fluorescence intensity	Standard deviation	Mean fluorescence intensity	Standard deviation
Before stimulation	290.42	151.34	594.71	261.41
After stimulation	867.32	415.66	1558.48	437.54

胞的氧化应激反应, 导致细胞内钙库(如内质网)释放造成的。有研究<sup>[9]</sup>表明,  $\text{H}_2\text{O}_2$ 诱导细胞凋亡与钙超载密切相关, 氧化应激诱导细胞凋亡的分子机制非常复杂, 涉及很多信号转导通路, 包括经典的线粒体途径<sup>[10]</sup>和死亡受体途径<sup>[11]</sup>, 以及机制仍不太明确的内质网途径<sup>[12]</sup>。近年来, 对内质网凋亡途径的研究发现, 内质网应激导

致的非折叠蛋白反应(unfolded protein response, UPR)扮演着重要角色。研究<sup>[13]</sup>显示, 细胞的氧化应激损伤, 导致内质网释放大量 $\text{Ca}^{2+}$ , 同时伴有内质网应激, 引发UPR, 用于ER正常功能的重建。如果细胞内 $\text{Ca}^{2+}$ 浓度持续升高, 内质网应激持续时间较长或非常严重, 将激活依赖 $\text{Ca}^{2+}$ 的激酶和磷酸酶<sup>[14]</sup>, 如calpain、caspase-12

和caspase-3级联反应，最终导致细胞凋亡<sup>[15]</sup>。本研究发现，肺癌细胞A549在较高浓度的H<sub>2</sub>O<sub>2</sub>作用下，细胞内Ca<sup>2+</sup>浓度明显升高，同时发现细胞短时间内即发生凋亡，推测可能与内质网应激有关，calpains或caspases信号通路是否被Ca<sup>2+</sup>激活导致细胞凋亡，还有待于进一步深入研究。本研究中，可能由于肿瘤细胞的生理Ca<sup>2+</sup>含量较低，或实时观察时间有限，预实验时使用较低浓度的H<sub>2</sub>O<sub>2</sub>时（5 mM, 10 mM）时，没有观察到明显的[Ca<sup>2+</sup>]<sub>i</sub>变化，因此我们采用较高浓度的H<sub>2</sub>O<sub>2</sub>刺激细胞，低浓度H<sub>2</sub>O<sub>2</sub>对A549细胞其他生物学行为的影响还有待于进一步研究。

Fluo-3和fluo-4是目前实验室中常用的Ca<sup>2+</sup>荧光染料，与Ca<sup>2+</sup>特异性结合后荧光强度明显增加。本研究对fluo-3和fluo-4在H<sub>2</sub>O<sub>2</sub>诱导的A549细胞凋亡过程中监测[Ca<sup>2+</sup>]<sub>i</sub>变化的应用情况进行了比较。结果发现，在相同的负载浓度、孵育时间、细胞密度、刺激因素和图像采集条件下，fluo-4的荧光强度更强，大约是fluo-3的2倍左右，这提示我们当细胞内Ca<sup>2+</sup>信号较强时，用fluo-3或fluo-4都可以观察到明显的荧光强度的变化，但如果细胞内Ca<sup>2+</sup>信号较弱时，使用fluo-4探针可能更具优势。细胞经H<sub>2</sub>O<sub>2</sub>处理后，fluo-3荧光强度的变化范围大于fluo-4，可能由于荧光探针的Kd值不同，具有较大Kd值的fluo-3与Ca<sup>2+</sup>的亲和力较低，适合于检测较宽范围的[Ca<sup>2+</sup>]<sub>i</sub>变化。我们还发现，采用荧光探针fluo-3或fluo-4，通过公式计算测定的细胞内[Ca<sup>2+</sup>]<sub>i</sub>变化范围不是很一致，可能与选择的细胞有关，不同的细胞对H<sub>2</sub>O<sub>2</sub>刺激的反应不同，再重复几次实验，可能会得到比较一致的结果。

Fluo-3和fluo-4进入细胞的方式均为酯负载法。Fluo-3和fluo-4与具有细胞膜通透性的乙酰甲酯（AM）相连形成Fluo-3 AM和fluo-4 AM复合物，穿过细胞膜后在细胞内被非特异性酯酶水解生成相应的Ca<sup>2+</sup>荧光探针，与Ca<sup>2+</sup>结合检测细胞内[Ca<sup>2+</sup>]<sub>i</sub>变化。我们在实验过程中发现，含血清的培养基会影响fluo-3和fluo-4的负载，在激光共聚焦显微镜下观察荧光非常微弱，采集不到良好的荧光信号，这可能是由于含血清的培养基能阻止荧光染料进入细胞。使用标准的无钙细胞外液，由于没有血清和培养液的营养支持，对细胞状态和活性的影响较大，细胞可能在观察过程中逐渐皱缩、脱壁或凋亡，不能对细胞进行长时间检测。

近几年还出现了荧光强度更强、检测范围更宽、更灵敏的Ca<sup>2+</sup>荧光染料，如fluo-5F、fluo-5N、fluo-4FF，均为fluo-4的类似物，但与Ca<sup>2+</sup>结合的亲和力较低，更适合

于检测1 μM-1 mM范围内的Ca<sup>2+</sup>水平变化。Fluo-3和fluo-4测定的Ca<sup>2+</sup>饱和浓度为≥5 μM，当[Ca<sup>2+</sup>]<sub>i</sub>升高超过5 μM时，即使有更多的Ca<sup>2+</sup>出现在细胞中，fluo-3和fluo-4也检测不到，而fluo-5F、fluo-5N、fluo-4FF测定的Ca<sup>2+</sup>饱和浓度为≥1 mM，这些新的Ca<sup>2+</sup>探针可以检测到更多的Ca<sup>2+</sup>，在检测高水平的Ca<sup>2+</sup>信号时更具优势。Fluo-5F、fluo-4FF的Kd值分别为2.3 μM和9.7 μM，而fluo-5N的Kd值高达90 μM，适合检测更高浓度的Ca<sup>2+</sup>变化<sup>[16]</sup>。研究表明应根据细胞内[Ca<sup>2+</sup>]<sub>i</sub>的变化水平选择合适的Ca<sup>2+</sup>荧光探针，当待测Ca<sup>2+</sup>浓度在荧光染料Kd值的0.1倍-10倍范围之内时其荧光强度与[Ca<sup>2+</sup>]<sub>i</sub>呈良好的线性关系，检测结果最准确。

Fluo-3和fluo-4及其类似物均为化学合成的Ca<sup>2+</sup>荧光染料，与Ca<sup>2+</sup>有较高的亲和力，通过负载方式很容易进入细胞，但不能在亚细胞水平精确定位，而且可能出现光漂白现象，长时间观察时对细胞活性有影响。除了Ca<sup>2+</sup>荧光染料，近年来还出现了水母发光蛋白和Cameleon等<sup>[17]</sup>基于生物发光的Ca<sup>2+</sup>荧光蛋白探针，需要通过基因转染方式进入细胞，与细胞器特异性基因连接表达重组蛋白，可实现精确的亚细胞定位，长时间观察其荧光强度稳定不会淬灭。目前我们已应用Ca<sup>2+</sup>荧光蛋白Cameleon YC3.6对H<sub>2</sub>O<sub>2</sub>刺激后A549细胞中[Ca<sup>2+</sup>]<sub>i</sub>进行了测定<sup>[18]</sup>，但在比较化学合成的Ca<sup>2+</sup>荧光探针或Ca<sup>2+</sup>荧光蛋白这两种不同的检测方法方面，还有待于进一步研究。我们应根据实验目的、细胞种类、刺激因素以及检测条件选择合适的Ca<sup>2+</sup>荧光探针，以帮助我们深入研究不同刺激条件下肿瘤细胞内[Ca<sup>2+</sup>]<sub>i</sub>变化，Ca<sup>2+</sup>信号转导的相关分子机制，以及对肿瘤细胞生物学行为的影响。

## 参 考 文 献

- Xue QF, Wang ZG. Calcium overload hazard and new type calcium antagonist investigations. Zhongguo Yao Xue Za Zhi, 2009, 44(2): 150-152. [薛全福, 王振纲. 钙超载的危害和新型钙阻断剂的研发. 中国药学杂志, 2009, 44(2): 150-152.]
- Morgado S, Granados MP, Bejarano I, et al. Role of intracellular calcium on hydrogen peroxide-induced apoptosis in rat pancreatic acinar AR42J cells. J Applied Biomed, 2008, 6(4): 211-224.
- Wu SH, Hang LW, Yang JS, et al. Curcumin induces apoptosis in human non-small cell lung cancer NCI-H460 cells through ER stress and caspase cascade- and mitochondria-dependent pathways. Anticancer Res, 2010, 30(6): 2125-2133.
- Hung JY, Hsu YL, Ni WC, et al. Oxidative and endoplasmic reticulum stress signaling are involved in dehydrocostuslactone-mediated apoptosis in human non-small cell lung cancer cells. Lung Cancer, 2010, 68(3): 355-365.
- Yang H, Zhang Q, He J, et al. Regulation of calcium signaling in lung cancer. J

- Thorac Dis, 2010, 2(1): 52-56.
- 6 Guatimosim S, Guatimosim C, Song LS. Imaging calcium sparks in cardiac myocytes. Methods Mol Biol, 2011, 689: 205-214.
- 7 Robinson JA, Jenkins NS, Holman NA, et al. Ratiometric and nonratiometric  $\text{Ca}^{2+}$  indicators for the assessment of intracellular free  $\text{Ca}^{2+}$  in a breast cancer cell line using a fluorescence microplate reader. J Biochem Biophys Methods, 2004, 58(3): 227-237.
- 8 Grynkiewicz G, Poenie M, Tsien RY. A new generation of  $\text{Ca}^{2+}$  indicators with greatly improved fluorescence properties. J Biol Chem, 1985, 260(6): 3440-3450.
- 9 Li GY, Fan B, Zheng YC. Calcium overload is a critical step in programmed necrosis of ARPE-19 cells induced by high-concentration  $\text{H}_2\text{O}_2$ . Biomed Environ Sci, 2010, 23(5): 371-377.
- 10 Chiara F, Gambalunga A, Sciacovelli M, et al. Chemotherapeutic induction of mitochondrial oxidative stress activates GSK-3 $\alpha/\beta$  and Bax, leading to permeability transition pore opening and tumor cell death. Cell Death Dis, 2012, 3: e444.
- 11 Gómez-Quiroz LE, Factor VM, Kaposi-Novak P, et al. Hepatocyte-specific c-Met deletion disrupts redox homeostasis and sensitizes to Fas-mediated apoptosis. J Biol Chem, 2008, 283(21): 14581-14589.
- 12 Ip SW, Wu SY, Yu CC, et al. Induction of apoptotic death by curcumin in human tongue squamous cell carcinoma SCC-4 cells is mediated through endoplasmic reticulum stress and mitochondria-dependent pathways. Cell Biochem Funct, 2011, 29(8): 641-650.
- 13 Djalila Mekahli, Geert Bultynck, Jan B. Parys, et al. Endoplasmic-reticulum calcium depletion and disease. Cold Spring Harb Perspect Biol, 2011, 3(6): a004317.
- 14 Kim I, Xu W, Reed JC. Cell death and endoplasmic reticulum stress: disease relevance and therapeutic opportunities. Nat Rev Drug Discov, 2008, 7(12): 1013-1030.
- 15 Das A, Banik NL, Ray SK. Mechanism of apoptosis with the involvement of calpain and caspase cascades in human malignant neuroblastoma SH-SY5Y cells exposed to flavonoids. Int J Cancer, 2006, 119(11): 2575-2585.
- 16 Wu X, Bers D M. Sarcoplasmic reticulum and nuclear envelope are one highly interconnected  $\text{Ca}^{2+}$  store throughout cardiac myocyte. Circ Res, 2006, 99(3): 283-291.
- 17 Horikawa K, Yamada Y, Matsuda T, et al. Spontaneous network activity visualized by ultrasensitive  $\text{Ca}(2+)$  indicators, yellow Cameleon-Nano. Nat Methods, 2010, 7(9): 729-732.
- 18 Zhang SY, Yu M, Gao J, et al. Application of the Cameleon monitoring system of  $\text{Ca}^{2+}$  in the process of  $\text{H}_2\text{O}_2$  induced apoptosis of A549 cells. Zhongguo Xi Bao Sheng Wu Xue Xue Bao, 2013, 35(10): 1453-1458. [张四洋, 于森, 高建, 等. Cameleon测钙系统在 $\text{H}_2\text{O}_2$ 诱导的A549细胞凋亡过程中的应用. 中国细胞生物学学报, 2013, 35(10): 1453-1458.]

(收稿: 2013-11-11 修回: 2013-11-29)

(本文编辑 南娟)



**Cite this article as:** Zhang SY, Li CY, Gao J, et al. Application of the  $\text{Ca}^{2+}$  indicator Fluo-3 and Fluo-4 in the process of  $\text{H}_2\text{O}_2$  induced apoptosis of A549 cell. Zhongguo Fei Ai Za Zhi, 2014, 17(3): 197-202. [张四洋, 李春艳, 高建, 等. 应用 $\text{Ca}^{2+}$ 荧光探针fluo-3和fluo-4测定 $\text{H}_2\text{O}_2$ 诱导的A549细胞凋亡过程中的 $[\text{Ca}^{2+}]$ 变化. 中国肺癌杂志, 2014, 17(3): 197-202.] doi: 10.3779/j.issn.1009-3419.2014.03.03.